

## • 化学成分 •

## 八仙花叶中环烯醚萜类化合物的结构鉴定

陈亚军, 王知斌, 于莹, 高岩, 杨春娟, 笔雪艳, 匡海学\*

黑龙江中医药大学 教育部北药基础与应用研究重点实验室/黑龙江省中药天然药物药效物质基础研究重点实验室, 黑龙江哈尔滨 150040

**摘要:** 目的 对八仙花 *Hydrangea macrophylla* 叶的化学成分进行研究。方法 采用硅胶柱色谱、ODS 柱色谱和 HPLC 等方法进行分离纯化, 并通过 <sup>1</sup>H-NMR、<sup>13</sup>C-NMR、MS 等波谱学技术确定化合物结构。结果 从八仙花叶提取物中分离得到 11 个环烯醚萜类化合物, 分别鉴定为断马钱子苷乙基甲基缩醛(1)、断马钱子苷二甲基缩醛(2)、断氧化马钱子苷(3)、7-去氧马钱子酸(4)、马钱子酸(5)、8-表马钱子苷(6)、马钱子苷(7)、7-脱氢马钱子苷(8)、獐牙菜苷(9)、表断马钱子苷半缩醛内酯(10)、断马钱子苷半缩醛内酯(11)。结论 化合物 1 为新化合物, 命名为八仙花叶苷。化合物 3、8 为八仙花属植物中首次分离得到。

**关键词:** 八仙花; 环烯醚萜; 断马钱子苷乙基甲基缩醛; 八仙花叶苷; 断氧化马钱子苷; 7-脱氢马钱子苷

中图分类号: R284.1 文献标志码: A 文章编号: 0253-2670(2017)02-0232-04

DOI: 10.7501/j.issn.0253-2670.2017.02.002

## Structural identification of iridoids from leaves of *Hydrangea macrophylla*

CHEN Ya-jun, WANG Zhi-bin, YU Ying, GAO Yan, YANG Chun-juan, BI Xue-yan, KUANG Hai-xue

Key Laboratory of Chinese Materia Medica (Ministry of Education), Heilongjiang University of Chinese Medicine, Heilongjiang  
Key Laboratory of TCM Pharmacodynamic Material Bases, Harbin 150040, China

**Abstract: Objective** To investigate the chemical constituents of the leaves of *Hydrangea macrophylla*. **Methods** The chemical constituents were separated and purified by various isolation methods (silica gel, ODS, and HPLC column chromatography), and their structures were determined by the analysis of spectral data (<sup>1</sup>H-NMR, <sup>13</sup>C-NMR, and MS). **Results** Eleven compounds were obtained and elucidated as following: secologanin ethyl methyl acetal (1), secologanin dimethyl acetal (2), secoxyloganin (3), 7-deoxyloganic acid (4), loganic acid (5), 8-*epi*-loganin (6), loganin (7), 7-dehydrologanin (8), sweroside (9), *epi*-vogeloside (10), and vogeloside (11). **Conclusion** Compound 1 is a new compound, named as macrophyloside. Compounds 3 and 8 are isolated for the first time from the plants of *Hydrangea* Linn.

**Key words:** *Hydrangea macrophylla* (Thunb.) Ser.; iridoid; secologanin ethyl methyl aceta; macrophyoside; secoxyloganin; 7-dehydrologanin

八仙花 *Hydrangea macrophylla* (Thunb.) Ser. 又名绣球花、紫阳花, 为虎耳草科 (Saxifragaceae) 绣球属 *Hydrangea* Linn. 植物。八仙花为落叶灌木, 枝粗壮, 叶近革质大而稍厚, 边缘有粗锯齿, 叶面鲜绿色, 叶背黄绿色。花丰满密集, 为粉红色、淡蓝色或白色。八仙花产于我国长江以南各省区, 民间常用其全草治疗痢疾、心热惊悸等疾病, 现代药

理及临床研究表明八仙花叶具有很好的抗疟、抗过敏、调血脂、降血糖<sup>[1]</sup>等作用。因此对八仙花叶中所含的化学成分进行系统的研究, 有利于进一步探究其生物活性。本实验对八仙花叶的化学成分进行了较为系统的研究, 从其正丁醇部分分离得到 11 个环烯醚萜类化合物, 分别鉴定为断马钱子苷乙基甲基缩醛 (secologanin ethyl methyl acetal, 1)、断

收稿日期: 2016-07-14

基金项目: 教育部博士点基金项目 (20132327120002); 黑龙江中医药大学“优秀创新人才”支持项目 (2012RCD05); 黑龙江中医药大学“杰出人才培养”基金项目 (2012cj02)

作者简介: 陈亚军 (1992—), 女, 黑龙江鹤岗人, 在读研究生, 研究方向为中药天然药物药效物质基础。E-mail: 524758669@qq.com

\*通信作者 匡海学 (1955—), 男, 教授, 博士生导师, 主要从事中药性味理论和中药天然药物药效物质基础研究。

Tel: (0451)87267188 E-mail: hxkuang@yahoo.com

马钱子苷二甲基缩醛 (secologanin dimethyl acetal, **2**)、断氧化马钱子苷 (secoxyloganin, **3**)、7-去氧马钱子酸 (7-deoxyloganic acid, **4**)、马钱子酸 (loganic acid, **5**)、8-表马钱子苷 (8-*epi*-loganin, **6**)、马钱子苷 (loganin, **7**)、7-脱氢马钱子苷 (7-dehydrologanin, **8**)、獐牙菜苷 (sweroside, **9**)、表断马钱子苷半缩醛内酯 (*epi*-vogeloside, **10**)、断马钱子苷半缩醛内酯 (vogeloside, **11**)。其中化合物**1**为新化合物, 命名为八仙花叶苷。化合物**3**、**8**为八仙花属植物中首次分离得到。

## 1 仪器与材料

JNM-ECA600型核磁共振仪 (TMS为内标, 日本电子株式会社, 日本); Waters 2535 制备型高效液相色谱仪、Waters 2414型视差检测器 (沃特斯公司, 美国); 薄层色谱和柱色谱硅胶 (青岛海洋化工厂产品); 反相ODS (Fuji Silysia Chemical有限公司, 日本); 高效液相色谱所用试剂为色谱级, 其他试剂均为分析纯。

八仙花叶于2013年9月采集于中国四川省石柱县, 由黑龙江中医药大学王振月教授鉴定为八仙花 *Hydrangea macrophylla* (Thunb.) Ser. 的叶。样本 (HLJZYY-100905) 保存于黑龙江中医药大学中药化学教研室。

## 2 提取与分离

八仙花的干燥叶2.0 kg经甲醇提取3次, 每次3 h, 合并提取液, 浓缩干燥得甲醇提取物452.3 g。将甲醇提取物加水悬浮, 依次以等体积醋酸乙酯和正丁醇萃取3次, 减压回收溶剂, 得正丁醇提取物125.5 g。正丁醇提取物经硅胶柱色谱, 氯仿-甲醇-水(15:3:1→甲醇)梯度洗脱, 得到6个组分Fr. 1~6。Fr. 2经中压ODS柱色谱, 甲醇-水(10:90→70:30)梯度洗脱, 得到5个组分Fr. 2-1~2-5。Fr. 2-3经制备型HPLC, 甲醇-水(40:60)等度洗脱, 得到化合物**8**(21.8 mg)。Fr. 2-4经制备型HPLC, 乙腈-水(15:85)等度洗脱得化合物**1**(17.2 mg)和**10**(15.1 mg)。Fr. 2-5经制备型HPLC, 甲醇-水(45:55)等度洗脱, 得到化合物**11**(23.3 mg)。Fr. 3组分经中压ODS柱色谱, 甲醇-水(10:90→70:30)梯度洗脱, 得到3个组分Fr. 3-1~3-3, Fr. 3-3经制备型HPLC, 甲醇-水(12:88)等度洗脱得化合物**9**(7.1 mg)。Fr. 4经中压ODS柱色谱, 甲醇-水(10:90→70:30)梯度洗脱, 得到7个组分Fr. 4-1~4-7, Fr. 4-3经制备型HPLC, 乙腈-水

(10:90)等度洗脱得化合物**2**(238.2 mg)和**7**(99.2 mg)。Fr. 4-4经制备型HPLC, 以甲醇-水(35:65)等度洗脱得化合物**3**(17.2 mg)和**6**(10.3 mg)。Fr. 5经中压ODS柱色谱, 甲醇-水(10:90→70:30)梯度洗脱, 得到5个组分Fr. 5-1~5-5, Fr. 5-3经制备型HPLC, 甲醇-水(25:75)等度洗脱得到化合物**4**(1.8 g)、**5**(51.2 mg)。

## 3 结构鉴定

化合物**1**: 白色粉末,  $[\alpha]_D^{23}-113.1^\circ$  (*c* 0.15, 甲醇), HR-FAB-MS  $m/z$ : 471.188 [M + Na]<sup>+</sup> ( $C_{20}H_{31}O_{11}Na^+$ , 计算值 471.189 7)。UV  $\lambda_{max}^{MeOH}$  (nm): 233; IR  $\nu_{max}^{KBr}$  ( $cm^{-1}$ ): 3 408, 1 708, 1 631, 1 287, 1 074处的吸收峰提示该结构中存在羟基、羰基、醚键等。

化合物**1**的<sup>1</sup>H-NMR(600 MHz, CD<sub>3</sub>OD)谱中  $\delta_H$  7.41 (1H, s) 是环烯醚萜3-H特征信号, 且 C<sub>4</sub>有COOR取代基;  $\delta_H$  5.49 (d, *J* = 4.8 Hz) 是环烯醚萜1位缩醛质子信号;  $\delta_H$  5.31 (1H, dd, *J* = 17.6, 1.4 Hz) 和 5.26 (1H, dd, *J* = 10.3, 1.4 Hz) 是末端双键的质子信号;  $\delta_H$  4.66 (d, *J* = 7.6 Hz) 为糖端基质子信号。<sup>13</sup>C-NMR 谱中可见20个碳信号, 其中羰基碳信号为  $\delta_C$  169.2; 2个烯碳信号为  $\delta_C$  135.9, 119.8;  $\delta_C$  153.2为环烯醚萜类化合物3位连氧烯碳信号; 1位和7位2个双连氧碳信号为  $\delta_C$  97.9, 103.5; 1分子糖的碳信号为  $\delta_C$  100.6, 74.6, 78.1, 71.5, 78.5, 62.7。据<sup>1</sup>H-NMR 和<sup>13</sup>C-NMR 可以初步推测出分子中含有1分子葡萄糖, <sup>13</sup>C-NMR 谱数据见表1。

化合物**1**用1 mol/L盐酸水解, 水液经处理并用HPLC分析, 旋光检测器检测, 鉴定为D-葡萄糖, 由端基质子的偶合常数(*J* = 7.6 Hz)可知糖的端基为β构型。

通过HMQC谱确定氢和碳的直接连接情况。在DQF COSY谱中,  $\delta_H$  4.56 和  $\delta_H$  2.09、1.62相关,  $\delta_H$  2.92与  $\delta_H$  2.09、1.62和2.67相关,  $\delta_H$  2.67和  $\delta_H$  5.73相关,  $\delta_H$  5.73与  $\delta_H$  5.31、5.26相关, 可以确定骨架中C-7、6、5、9和10的连接方式;  $\delta_H$  1.17和  $\delta_H$  3.73、3.61相关, 可以确定C-2"和C-3"相连。通过HMBC谱可知,  $\delta_H$  7.41与  $\delta_C$  169.2、97.9相关,  $\delta_H$  2.92与  $\delta_C$  153.2、97.9相关,  $\delta_H$  2.67与  $\delta_C$  111.8、97.9相关, 由此可确定苷元上六元环的结构。 $\delta_H$  4.66与  $\delta_C$  97.9相关, 说明β-D-葡萄糖连接在C-1位。 $\delta_H$  5.31、5.26和  $\delta_C$  45.4相关,  $\delta_H$  5.73与  $\delta_C$  29.4相关, 说明末端双键连接在C-9位。 $\delta_H$  4.56与  $\delta_C$  29.4相关,  $\delta_H$  2.09、1.62与  $\delta_C$  3.28相关, 说明C-6和C-7

表 1 化合物 1~11 的  $^{13}\text{C}$ -NMR 数据 (150 MHz,  $\text{CD}_3\text{OD}$ )  
Table 1  $^{13}\text{C}$ -NMR data of compounds 1—11 (150 MHz,  $\text{CD}_3\text{OD}$ )

| 碳位                | 1     | 2     | 3     | 4     | 5     | 6     | 7     | 8     | 9     | 10    | 11    |
|-------------------|-------|-------|-------|-------|-------|-------|-------|-------|-------|-------|-------|
| 1                 | 97.9  | 97.9  | 97.4  | 97.9  | 97.6  | 96.2  | 97.7  | 95.4  | 98.0  | 98.6  | 98.0  |
| 3                 | 153.2 | 153.3 | 153.6 | 152.8 | 152.1 | 152.5 | 152.1 | 153.3 | 153.9 | 154.5 | 154.1 |
| 4                 | 111.8 | 111.7 | 109.9 | 113.0 | 114.0 | 114.1 | 114.0 | 111.1 | 106.1 | 105.4 | 105.2 |
| 5                 | 29.4  | 29.4  | 28.4  | 35.3  | 32.0  | 31.0  | 32.2  | 28.3  | 28.5  | 22.9  | 25.3  |
| 6                 | 33.7  | 33.3  | 35.0  | 33.4  | 42.6  | 41.2  | 42.7  | 43.5  | 26.0  | 30.3  | 31.7  |
| 7                 | 103.5 | 104.5 | 176.2 | 34.2  | 75.1  | 79.3  | 75.1  | 220.7 | 69.7  | 103.4 | 105.5 |
| 8                 | 135.9 | 135.8 | 134.3 | 36.5  | 42.0  | 45.2  | 42.2  | 44.7  | 133.4 | 133.4 | 133.1 |
| 9                 | 45.4  | 45.4  | 45.1  | 49.0  | 46.4  | 43.0  | 46.5  | 46.6  | 43.8  | 43.0  | 43.8  |
| 10                | 119.8 | 119.8 | 120.7 | 20.9  | 13.4  | 14.4  | 13.5  | 13.7  | 120.9 | 121.1 | 121.2 |
| 11                | 169.2 | 169.2 | 168.8 | 171.1 | 170.9 | 169.2 | 169.6 | 168.9 | 168.5 | 167.5 | 167.7 |
| -OCH <sub>3</sub> | 51.7  | 51.7  | 51.7  |       |       | 51.7  | 51.7  | 51.8  |       | 57.0  | 57.1  |
| 1'                | 100.2 | 100.1 | 99.8  | 100.2 | 99.9  | 99.7  | 100.1 | 100.2 | 99.7  | 100.4 | 99.8  |
| 2'                | 74.7  | 74.7  | 74.4  | 74.8  | 75.1  | 74.8  | 74.7  | 74.7  | 74.8  | 74.7  | 74.8  |
| 3'                | 78.1  | 78.1  | 77.7  | 78.0  | 77.9  | 78.0  | 78.0  | 78.0  | 77.9  | 78.1  | 77.9  |
| 4'                | 71.6  | 71.6  | 71.3  | 71.6  | 71.5  | 71.8  | 71.6  | 71.6  | 71.6  | 71.5  | 71.6  |
| 5'                | 78.4  | 78.4  | 78.1  | 78.3  | 78.2  | 78.4  | 78.3  | 78.4  | 78.4  | 78.4  | 78.4  |
| 6'                | 62.8  | 62.8  | 62.6  | 62.8  | 62.7  | 63.0  | 62.8  | 62.8  | 62.7  | 62.7  | 62.7  |
| 1''               | 52.2  | 52.6  |       |       |       |       |       |       |       |       |       |
| 2''               | 63.3  | 54.0  |       |       |       |       |       |       |       |       |       |
| 3''               | 15.6  |       |       |       |       |       |       |       |       |       |       |

的结构片段连接在 C-5 位。 $\delta_{\text{H}}$  3.28、3.73 和 3.61 与  $\delta_{\text{C}}$  103.5 相关, 可确定-OCH<sub>3</sub> 和-CH<sub>2</sub>CH<sub>3</sub> 连接在 C-7 位。由此可推断出化合物 1 的结构, 关键的 DQF COSY 和 HMBC 见图 1。

NOSEY 谱中显示, H-7 与 H-5、H-9 存在 NOE 相关, 说明 H-5、H-9 处在同一平面上。同时, H-1 与 H-6 相关, H-6 与 H-8 相关, 而 H-6 与 H-9 不相关, 推测 1 位的 H 为  $\alpha$  构型, 5 位和 9 位的 H 为  $\beta$  构型。NOSEY 谱中没有观察到与 7 位碳连的甲氧基和乙氧基的相关峰, 所以不能确定 7 位碳的构型。

通过对化合物 1 和断马钱子苷二甲基缩醛<sup>[2]</sup> (化合物 2) 的核磁数据可以判断, 化合物 1 仅比化

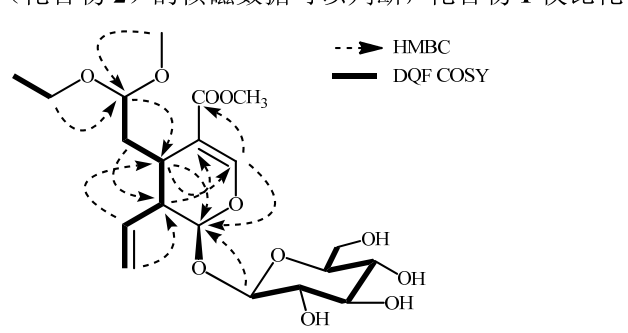
合物 2 缺少 1 个 OCH<sub>3</sub> 信号, 多 1 个 OCH<sub>2</sub>CH<sub>3</sub> 信号。综合分析, 化合物 1 的化学结构被确定为断马钱子苷乙基甲基缩醛 (图 2), 经检索为新化合物。

化合物 1 的  $^1\text{H}$ -NMR 谱数据为  $\delta$ : 5.49 (1H, d,  $J = 4.8$  Hz, H-1), 7.41 (1H, s, H-3), 2.92 (1H, ddd,  $J = 8.3, 6.9, 6.8$  Hz, H-5), 2.09 (1H, ddd,  $J = 13.7, 6.9, 6.8$  Hz, H-6a), 1.62 (1H, ddd,  $J = 13.7, 8.3, 4.2$  Hz, H-6b), 4.56 (1H, dd,  $J = 6.8, 4.2$  Hz, H-7), 5.73 (1H, ddd,  $J = 17.6, 10.3, 8.9$  Hz, H-8), 2.67 (1H, ddd,  $J = 8.9, 6.8, 4.8$  Hz, H-9), 5.31 (1H, dd,  $J = 17.6, 1.4$  Hz, H-10a), 5.26 (1H, dd,  $J = 10.3, 1.4$  Hz, H-10b) 3.69 (3H, s, H-OCH<sub>3</sub>), 4.66 (1H, d,  $J = 7.6$  Hz, H-1'), 3.18 (1H, dd,  $J = 8.9, 7.6$  Hz, H-2'), 3.35 (1H, dd,  $J = 9.6, 8.9$  Hz, H-3'), 3.27 (1H, dd,  $J = 9.6, 8.9$  Hz, H-4'), 3.29 (1H, overlapped, H-5'), 3.89 (1H, dd,  $J = 11.7, 2.1$  Hz, H-6'a), 3.66 (1H, dd,  $J = 11.7, 5.5$  Hz, H-6'b), 3.28 (3H, s, H-1''), 1.17 (3H, t,  $J = 7.6, 6.9$  Hz, H-2''), 3.73 (1H, m, H-3'a), 3.61 (1H, m, H-3'b)。

化合物 2: 白色粉末, FAB-MS:  $m/z$  457 [M+Na]<sup>+</sup>。 $^1\text{H}$ -NMR (600 MHz,  $\text{CD}_3\text{OD}$ )  $\delta$ : 5.50 (1H, d,  $J = 5.5$  Hz, H-1), 7.42 (1H, s, H-3), 2.91 (1H, ddd,  $J = 8.3, 6.9, 6.8$  Hz, H-5), 2.06 (1H, ddd,  $J = 13.7, 6.9, 6.8$  Hz, H-6a), 1.63 (1H, ddd,  $J = 13.7, 8.3, 4.1$  Hz, H-6b),

图 1 化合物 1 主要的 HMBC 和 DQF COSY 相关

Fig. 1 Key HMBC and DQF COSY correlations of compound 1



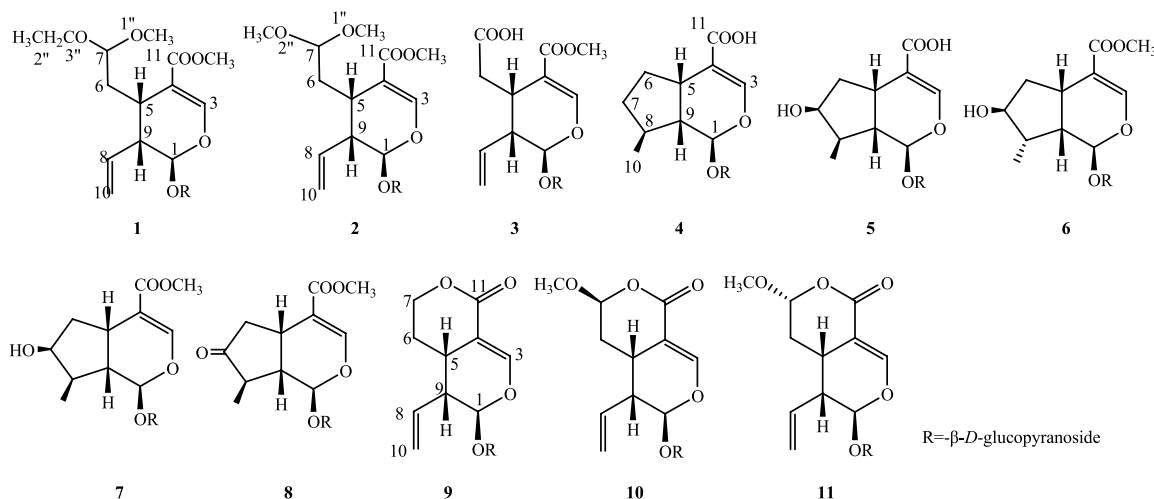


图2 化合物1~11的结构

Fig. 2 Structures of compounds 1—11

4.69 (1H, dd,  $J = 6.8, 4.1$  Hz, H-7), 5.72 (1H, ddd,  $J = 17.6, 10.3, 8.9$  Hz, H-8), 2.67 (1H, ddd,  $J = 8.9, 6.8, 5.5$  Hz, H-9), 5.30 (1H, dd,  $J = 17.6, 1.4$  Hz, H-10a), 5.26 (1H, dd,  $J = 10.3, 1.4$  Hz, H-10b), 3.69 (3H, s, OCH<sub>3</sub>), 4.67 (1H, d,  $J = 7.6$  Hz, H-1'), 3.19 (1H, dd,  $J = 8.9, 7.6$  Hz, H-2'), 3.35 (1H, dd,  $J = 9.6, 8.9$  Hz, H-3'), 3.27 (1H, dd,  $J = 9.6, 8.9$  Hz, H-4'), 3.89 (1H, dd,  $J = 11.7, 1.8$  Hz, H-6'a), 3.66 (1H, dd,  $J = 11.7, 6.2$  Hz, H-6'b), 3.26 (3H, s, H-1''), 3.29 (3H, s, H-2'')。<sup>13</sup>C-NMR谱数据见表1。以上数据与文献报道一致<sup>[2]</sup>, 故鉴定化合物2为断马钱子苷二甲基缩醛。

将化合物的核磁和质谱数据与已知文献中的数据对比, 将化合物3~11分别鉴定为断氧化马钱子苷<sup>[3]</sup>、7-去氧马钱子酸<sup>[4]</sup>、马钱子酸<sup>[5]</sup>、8-表马钱子苷<sup>[6]</sup>、马钱子苷<sup>[7]</sup>、7-脱氢马钱子苷<sup>[8]</sup>、獐牙菜苷<sup>[9]</sup>、表断马钱子苷半缩醛内酯<sup>[10]</sup>和断马钱子苷半缩醛内酯<sup>[11]</sup>, <sup>13</sup>C-NMR谱数据见表1。

#### 参考文献

- Ishih A, Nagata T, Kobayashi F, et al. Cytokine and antibody production during the course of resolution in *Plasmodium yoelii* 17XL-infected BALB/c mice treated with febrifugine and isofebrifugine mixture from leaves of *Hydrangea macrophylla* var. *otaksa* [J]. *Parasitol Res*, 2004, 94(3): 176-182.
- Kakuda R, Imai M, Yaoita Y, et al. Secoiridoid glycosides from the flower buds of *Lonicera japonica* [J]. *Phytochemistry*, 2000, 55(8): 879-881.
- Calis I, Sticher O. Secoiridoid glucosides from *Lonicera periclymenum* [J]. *Phytochemistry*, 1984, 23(11): 2539-2540.
- Teng R W, Wang D Z, Wu Y S, et al. NMR assignments and single-crystal X-ray diffraction analysis of deoxyloganic acid [J]. *Magn Reson Chem*, 2005, 43(1): 92-96.
- Yang X L, Jiang M Y, Hsieh K L, et al. Chemical constituents from the seeds of *Morinda citrifolia* [J]. *Chin J Nat Med*, 2009, 7(2): 119-122.
- Háznagy-Radnai E, Wéber E, Czigle S, et al. Identification of iridoids, flavonoids and triterpenes from the methanolic extract of *Melampyrum bihariense* A. Kern. and the antioxidant activity of the extract [J]. *Chromatographia*, 2014, 77(17): 1153-1159.
- 朱伟明, 何红平, 王跃虎, 等. 药用植物盆架树中的马钱子苷及其衍生物 [J]. 植物分类与资源学报, 2004, 26(6): 683-686.
- Gross G A, Sticher O, Anklin C, et al. Ein neues esteriridoidglycosid aus *Sambucus ebulus* L. (Caprifoliaceae). 1. Mitteilung über die Inhaltsstoffe der zwergholunderwurzel [J]. *Helv Chim Acta*, 1986, 69(1): 156-162.
- 李雨蔚, 李荣娇, 袁绿益, 等. 西藏秦艽花的化学成分研究 [J]. 中草药, 2015, 46(14): 2052-2056.
- Chai X, Su Y F, Yan S L, et al. Chemical constituents of the roots of *Triosteum pinnatifidum* [J]. *Chem Nat Compd*, 2014, 50(6): 1149-1152.
- 李畅, 戴毅, 张金博, 等. 金银花中1个新的环烯醚萜苷类化合物 [J]. 中草药, 2013, 44(21): 2951-2954.